

Nowoczesne technologie materiałowe stosowane w przemyśle lotniczym Modern material technologies in aerospace industry

Modelowanie, konstruowanie i kontrolowanie procesu HSM z uwzględnieniem skonfigurowanego układu maszyna-przyrząd-detali
Modeling, construction and control of the HSM process taking into consideration the configured machine-instrument-detail system



Wyniki badań Results

Automatyczna analiza modalna wrzeciona frezarki Automatic modal analysis of milling machine tool spindle

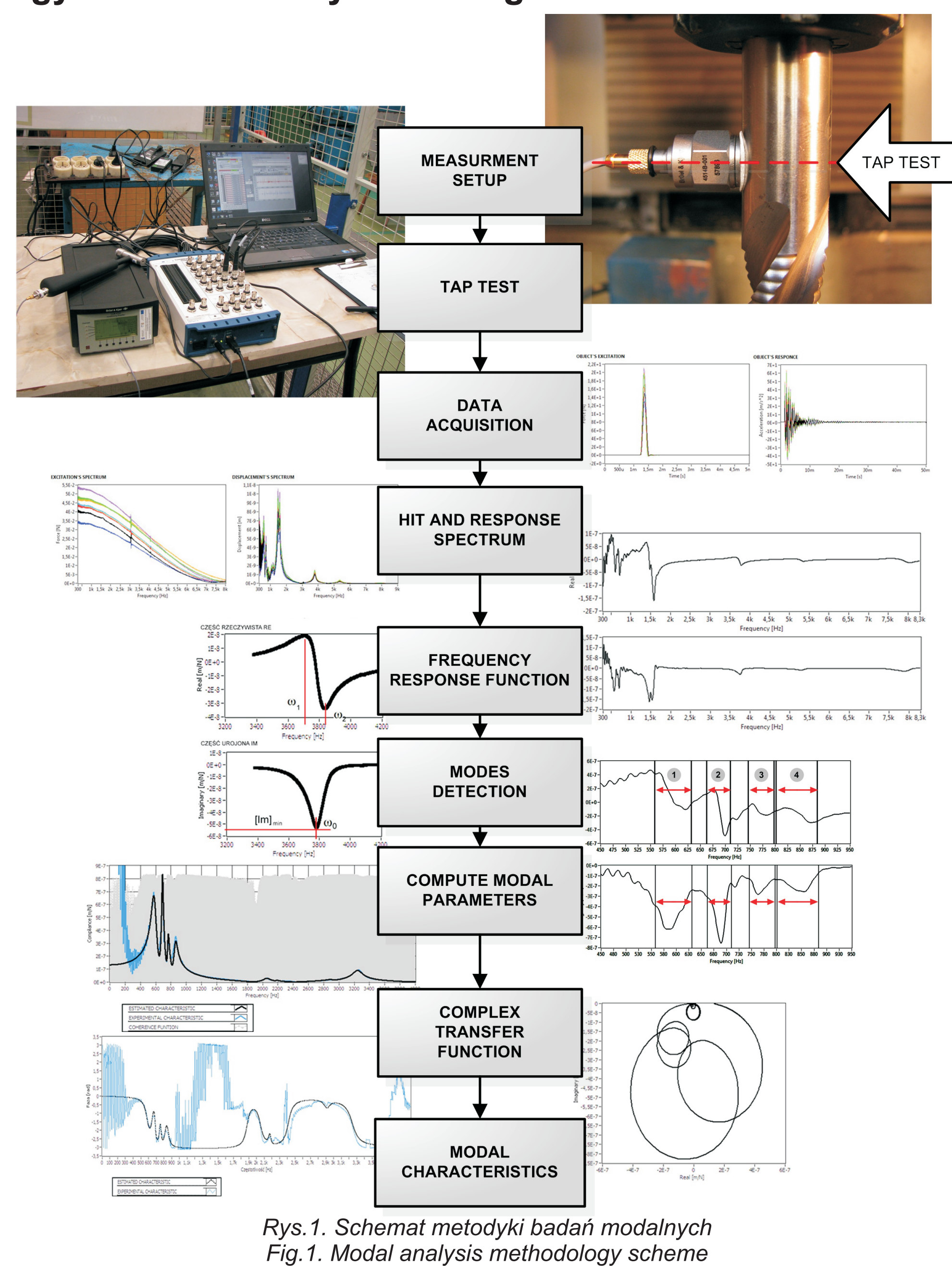
Ogólne informacje

Wymagająca obróbkę skrawaniem w przemyśle lotniczym wymaga okresowego monitorowania stanu obrabiarek. Istotnym wskaźnikiem tego stanu jest podatność dynamiczna (sklonność do drgań), którą można określić przy pomocy analizy modalnej – badania właściwości metodą zakłócenia zadaną siłą (młotkiem z czujnikiem siły) i pomiaru odpowiedzi obiektu – drgań. „Ręczne” wyznaczanie parametrów modalnych jest czasochłonne, trudne, wymaga wiedzy i doświadczenia. Celem projektu jest opracowanie metod, algorytmów i oprogramowania do automatycznej analizy modalnej, w której użytkownik jedynie wykonyuje uderzenia, a układ samodzielnie rozpoznaje poprawność uderzeń, wykrywa postaci drgań i wyznacza parametry modalne.

General information

Important indicator of milling machine tool condition is dynamic compliance of its spindle. It can be identified with experimental modal analysis (tap test) from measured frequency responses. Aim of the project is development of methodology, algorithms and software for automatic SISO modal analysis. Operator only executes several modal hammer hits while program automatically completes hits extraction from acquired signal rejecting non-proper (double, too weak, too strong) ones. Afterwards program computes frequency response function, averages results from all hits, selects modes from averaged. The last stage is computing modal parameters and multi-mode modal characteristics.

Metodyka badań modalnych Methodology for modal analysis testing



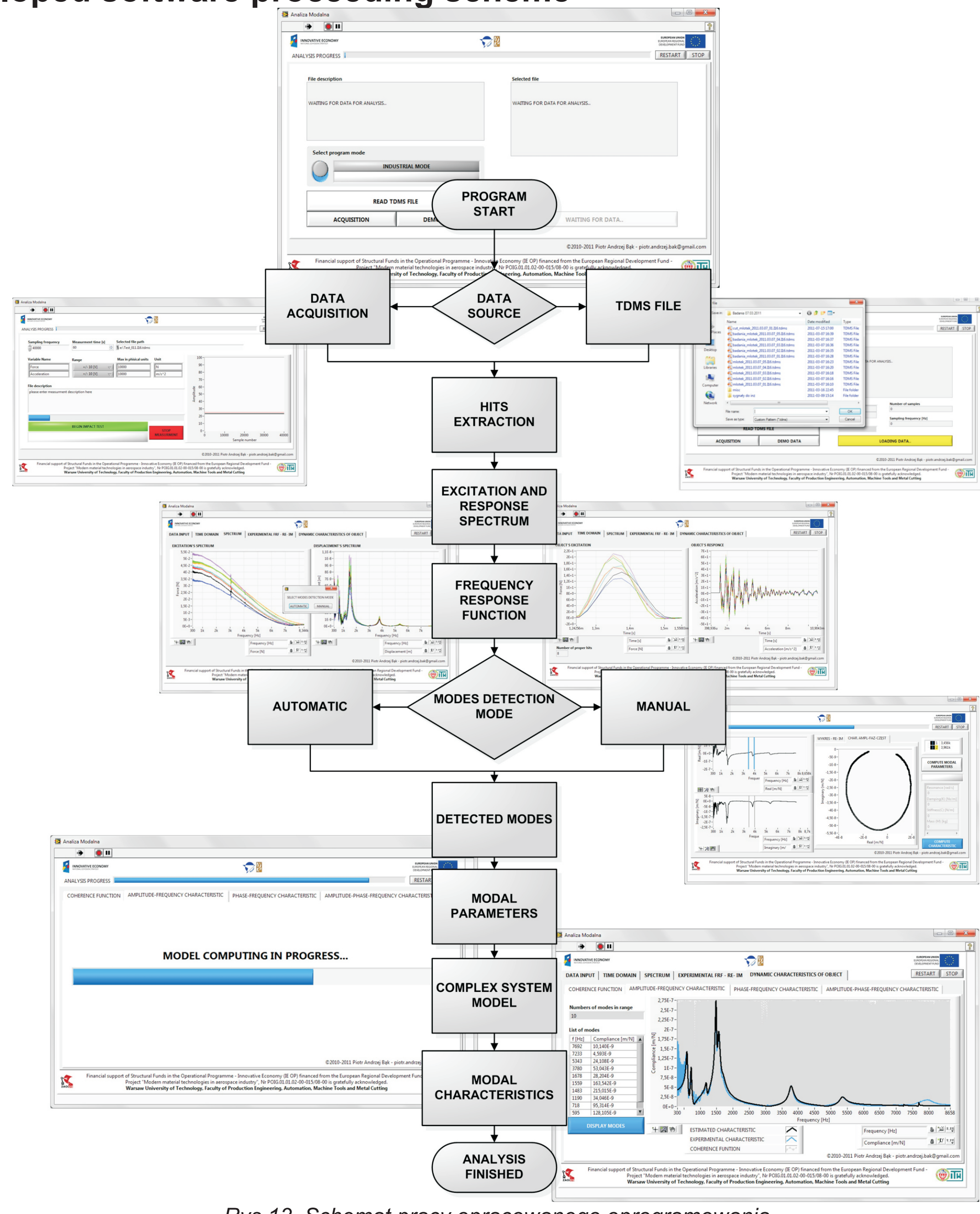
Tor pomiarowy

Młotek modalny Brüel & Kjaer 8206-03
Akcelerometr Brüel & Kjaer 4514-001
Wzmacniacz pomiarowy Brüel & Kjaer NEXUS 2693
Karta pomiarowa National Instruments USB-6259 BNC
Komputer PC z oprogramowaniem LabVIEW 2010

Measurement setup

Modal hammer Brüel & Kjaer 8206-03
Accelerometer Brüel & Kjaer 4514-001
Measurement amplifier Brüel & Kjaer NEXUS 2693
Data acquisition card National Instruments USB-6259 BNC
PC with LabVIEW 2010 software

Schemat pracy opracowanego oprogramowania Developed software proceeding scheme

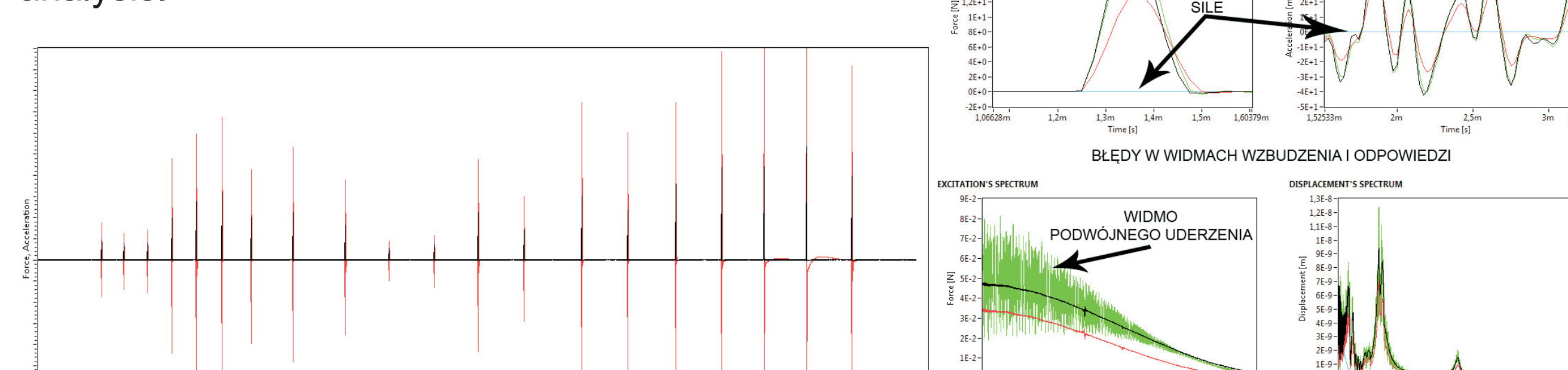


Politechnika Warszawska, Politechnika Rzeszowska

Uderzenia testowe oraz ekstrakcja poprawnych uderzeń Impact testing with extraction of proper hits

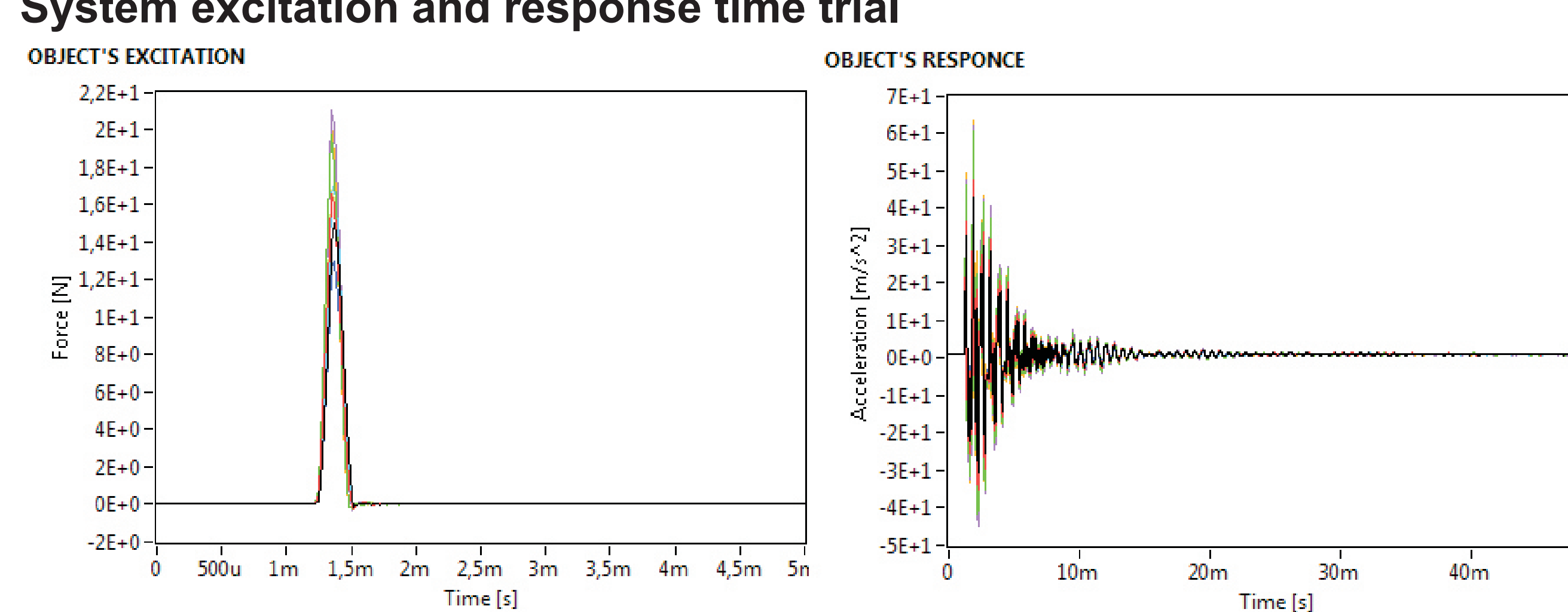
Z całego zarejestrowanego w czasie pomiaru sygnału wyodrębniane są pojedyncze uderzenia, a spośród nich odrzuca się niepoprawne, poprawne zaś zbierane do dalszej analizy.

From the entire signal acquired during the test, single hits are separated, out of which the wrong ones are rejected, while the good ones are collected for further analysis.



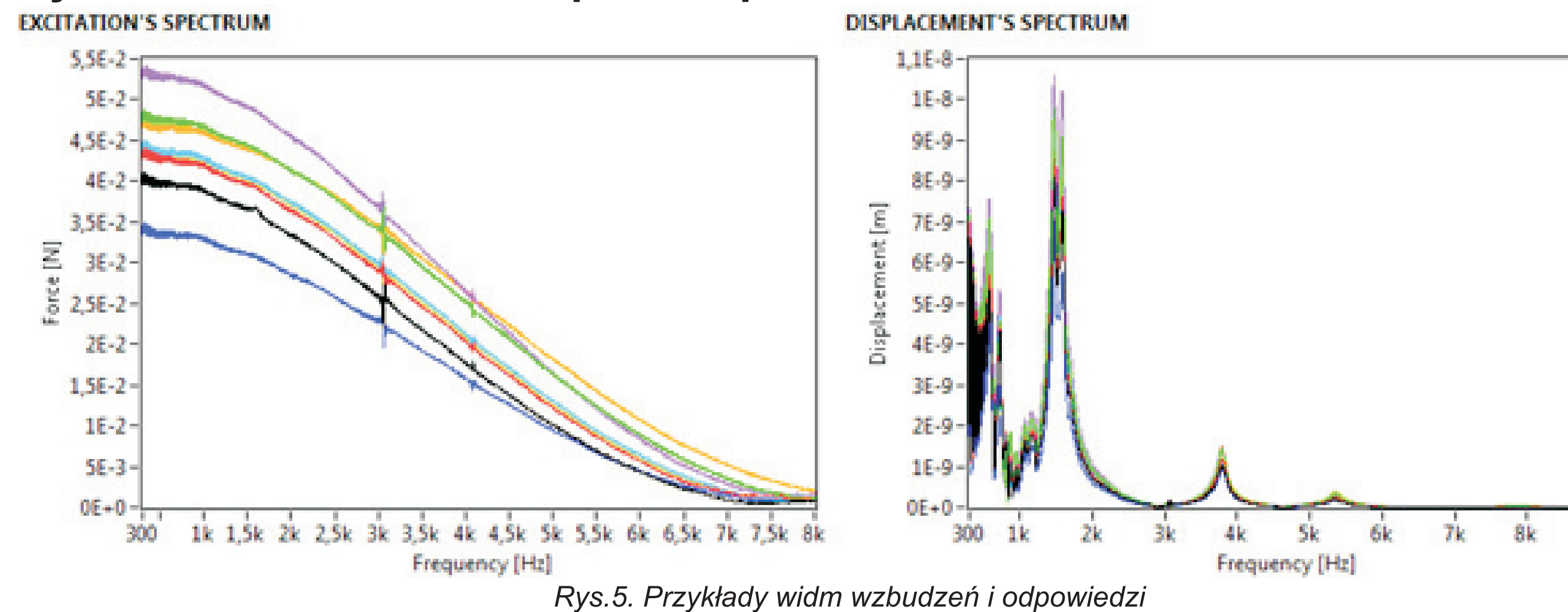
Rys. 2. Przebieg czasowy siły i przyspieszenia w pomiarze
Fig. 2. Force and acceleration time trial in measurement

Przebieg czasowy wymuszenia oraz odpowiedzi układu System excitation and response time trial



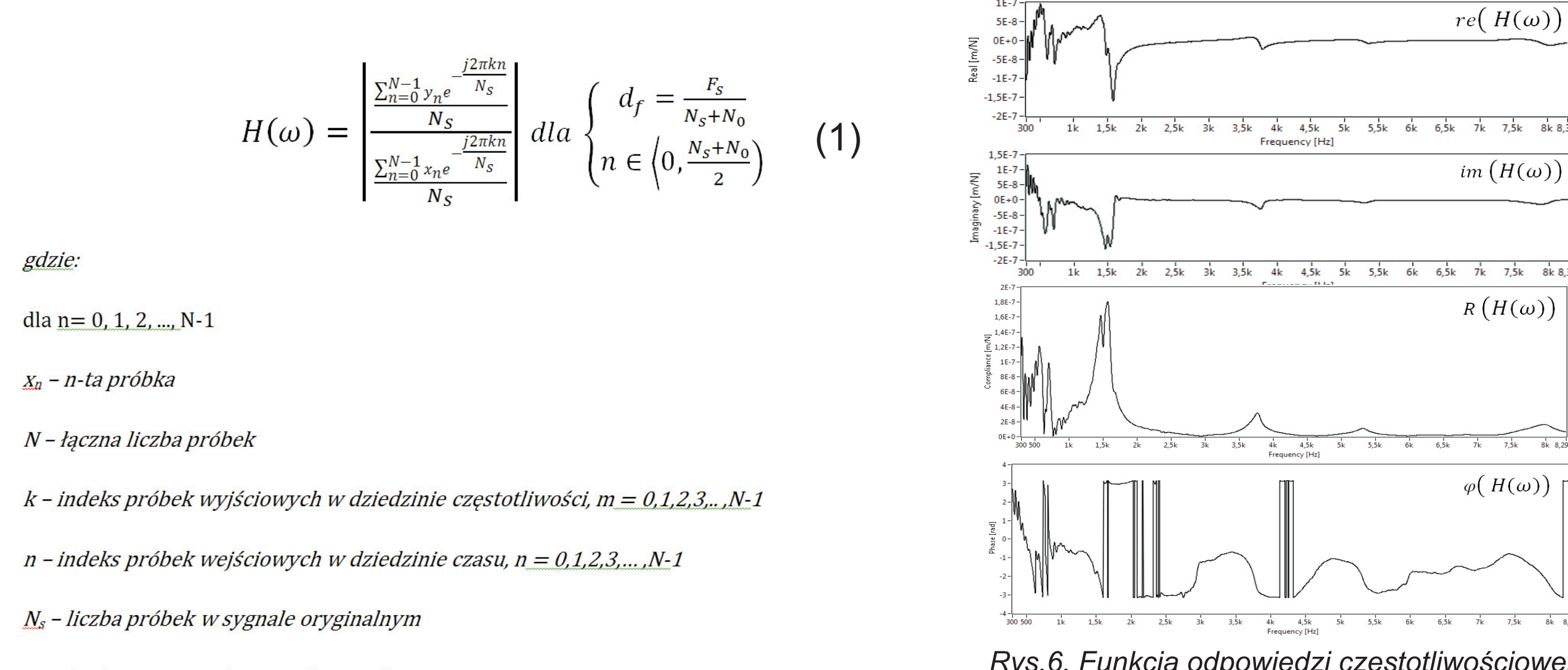
Rys. 4. Przykłady wyodrębnionych poprawnych wymuszeń i odpowiedzi
Fig. 4. Example of extracted correct excitations and responses

Widmo wymuszenia oraz odpowiedzi układu System excitation and response spectrum



Rys. 5. Przykłady widm wzbudzeń i odpowiedzi
Fig. 5. Example of excitations and responses spectrum

Funkcja odpowiedzi częstotliwościowej Frequency response function



Rys. 6. Funkcja odpowiedzi częstotliwościowej
Fig. 6. Frequency response function

Model masowo-dysypacyjno-sprzęzisty obiektu MDS system model

Równanie opisujące zachowanie się obiektu o jednym stopniu swobody MDS (układ masowo-dysypacyjno-sprzęzisty):

Equation describes behavior of object with one degree of freedom:

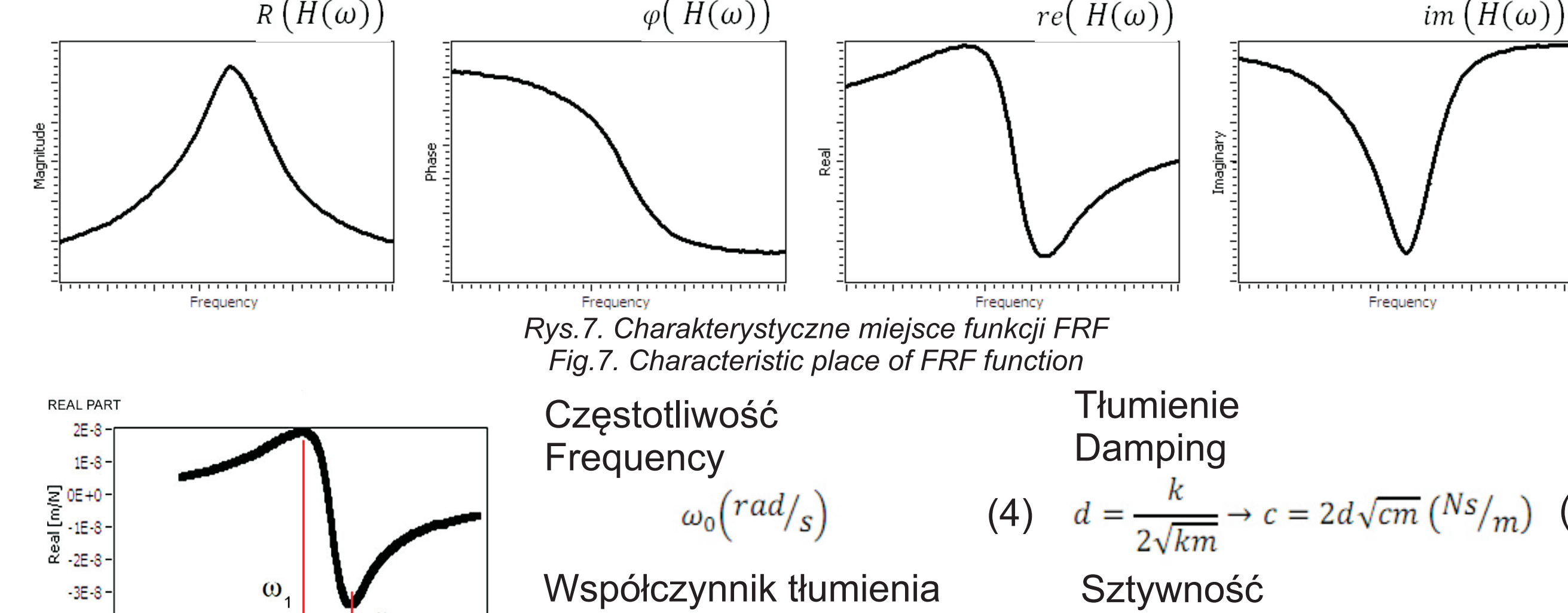
$$m\ddot{x}(t) + c\dot{x}(t) + kx(t) = f(t) \quad (2)$$

Do obliczenia modelu wykorzystywana jest transmitancja widmowa układu MDS o jednym stopniu swobody opisana jest wzorem poniżej:

Complex model of MDS system is based on transfer function of 1DOF system:

$$G_{MST}(\omega) = \frac{1}{-m\omega^2 + j\omega + k} \quad (3)$$

Obliczenie parametrów modalnych Modal parameters computation



Rys. 7. Charakterystyczne miejsce funkcji FRF
Fig. 7. Characteristic place of FRF function

Częstotliwość

Damping

Współczynnik tlenienia

Damping coefficient

Tlenienie

Damping

Stygność

Stiffness

Masa

Mass

Współczynnik

Stygności

Stiffness

Masa

Mass

Współczynnik

Stygności

Stiffness

Masa

Mass

Współczynnik

Stygności

Stiffness

Masa

Mass

Współczynnik

Stygności

Stiffness

Masa

Mass

Współczynnik

Stygności

Stiffness

Masa

Mass

Współczynnik

Stygności

Stiffness

Masa

Mass

Współczynnik

Stygności

Stiffness

Masa

Mass

Współczynnik

Stygności

Stiffness

Masa

Mass

Współczynnik

Stygności

Stiffness

Masa

Mass

Współczynnik

Stygności

Stiffness

Masa

Mass

Współczynnik

Stygności

Stiffness

Masa

Mass

Współczynnik

Stygności

Stiffness

Masa

Mass

Współczynnik

Stygności

Stiffness

Masa

Mass

Współczynnik

Stygności

Stiffness

Masa

Mass

Współczynnik

Stygności

Stiffness

Masa

Mass

Współczynnik

Stygności

Stiffness

Masa

Mass

Współczynnik

Stygności

Stiffness

Masa

Mass

Współczynnik

Stygności